

Review Study t-indep. Schrödinger equ. with different 1d $V(x)$

→ Generally Ψ and Ψ' are continuous

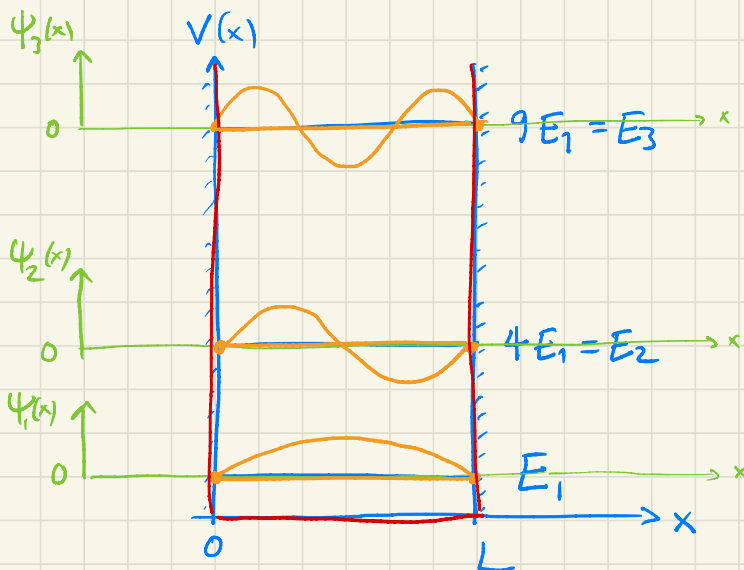
$$\hat{H} \Psi(x) = E \Psi(x)$$

$\forall x$

4.1 Infinite potential well $V(x)$

discrete $E_n = \frac{\hbar^2 \pi^2}{2mL^2} n^2, n=1,2,3,\dots$

with eigenfunctions $\Psi_n(x) = \sqrt{\frac{2}{L}} \sin \frac{n\pi x}{L}$



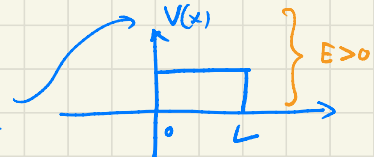
eigenfunctions $\{\Psi_n(x)\}$ are orthonormal and complete set

for general wave function on $[0,L]$

- Vorlesung heute:
- 4.1 Unendl. Pot.toppf
 - 4.2 Endlicher Potentialtopf } lok./geb. Zuständ.
 - 4.3 δ -Potential

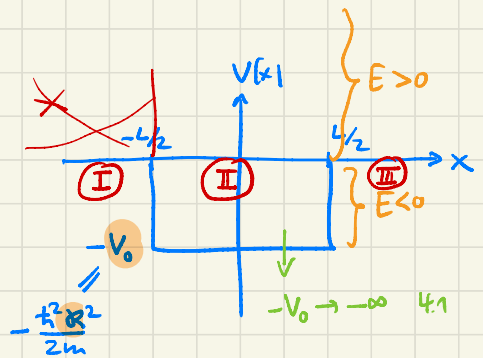
Streu-
zustände

- 4.4 Potentialstufe
- 4.5 Potentialbarriere



4.2 Endlicher Potenzialtopf

$$V(x) = \begin{cases} -V_0 & |x| \leq \frac{L}{2} \\ 0 & \text{sonst} \end{cases}$$



Für stückweise konstantes Potential ist S-Glg. von der Form

$$(E - V) \psi(x) = -\frac{\hbar^2}{2m} \frac{d^2}{dx^2} \psi(x) \rightarrow \psi'' \sim \psi$$

hier in \textcircled{I} und \textcircled{III} : $V=0$ und in \textcircled{II} : $V=-V_0$
 $\rightarrow E$ $\rightarrow E + V_0$

$E-V$ entscheidet Vorzeichen

Allgemein

Lösungen sind $\psi(x) \sim e^{\pm ax}$ für $E-V < 0$

$$a, b \in \mathbb{R}$$

$$\psi(x) \sim e^{\pm ibx} \quad \text{für } E-V > 0$$

$\hookrightarrow \cos bx \pm i \sin bx$

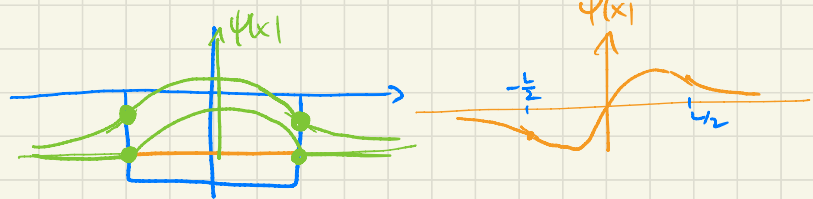
$$\hookrightarrow$$

Unendl. Potenzialtopf \rightarrow Grundzustand ist gerade Fkt.

Ansatz für gerade Lösungen der S-Glg. für $E < 0$ (geb./lok. Zuständig)

ungerade

$$\psi(x) = \begin{cases} -N_{\text{abfall}} e^{kx} & , x < -\frac{L}{2} \textcircled{I} \\ N_i \cos kx & , |x| \leq \frac{L}{2} \textcircled{II} \\ N_a e^{-kx} & , x > \frac{L}{2} \textcircled{III} \end{cases}$$



Einsetzen in Schrödingergleichung gibt

$$\text{im Bereich I und II} \quad E \psi(x) = -\frac{\hbar^2}{2m} \psi''(x) = -\frac{\hbar^2 k^2}{2m} \psi(x)$$

$$\Rightarrow E = -\frac{\hbar^2 k^2}{2m}$$

und in II

$$E \psi(x) = \left(-\frac{\hbar^2}{2m} \frac{d^2}{dx^2} - \frac{\hbar^2 k^2}{2m} \right) \psi(x)$$

$$\Rightarrow -k^2 = k'^2 - \alpha^2$$

\uparrow
 E
 \uparrow
 Krümmung
 um die
 \downarrow

$$\Rightarrow k'^2 = \alpha^2 + k^2$$

Aus Stetigkeit von Ψ und Ψ' bei $x = \pm \frac{L}{2}$ folgt (Quantisierung)

\Rightarrow Stetigkeit von $\frac{\Psi'}{\Psi}$ (log. Ableitg.), Normierkonst. fallen raus
 bei $x = \frac{L}{2}$

$$\frac{\Psi'(\frac{L}{2})}{\Psi(\frac{L}{2})} = \frac{-k' \sinh \frac{k'L}{2}}{\cosh \frac{k'L}{2}} = \frac{-k e^{-k \frac{L}{2}}}{e^{+k \frac{L}{2}}} = \frac{\Psi'(\frac{L}{2})}{\Psi(\frac{L}{2})}$$

$$\Rightarrow \tan k' \frac{L}{2} = \frac{k}{k'} = \frac{(x \frac{L}{2})^2 - (k' \frac{L}{2})^2}{k' \frac{L}{2}}$$
(*)

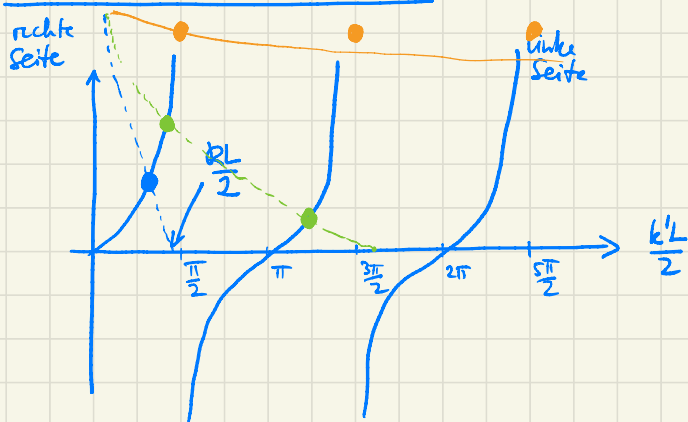
Ungerade
Lösungen

$$\cot k' \frac{L}{2} = -\frac{k}{k'} = -\dots$$

(***)

Schärigkeit von $\frac{\Psi'}{\Psi}$ bei $x = -\frac{L}{2}$ gibt gleicher Bedingung

Graphische Bestimmung von k' für gerade Lösungen

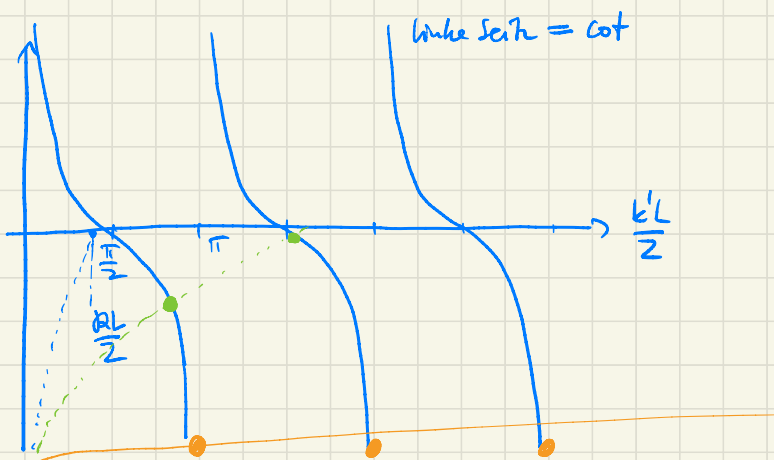


⇒ Es gibt mindestens eine Lösung (einen geb. Zustand) für beliebig schwaches Potential (in 1d)

Und für $\frac{RL}{2} > n \cdot \pi$, $n = 1, 2, 3, \dots$

gibt es $n+1$ geb. Zustände mit gerader Symmetrie

Graphische Bestimmung von k' für ungerade Lösungen



\Rightarrow Es gibt nur ungerade Lösungen wenn $\frac{R_L}{2} \geq \frac{\pi}{2}$

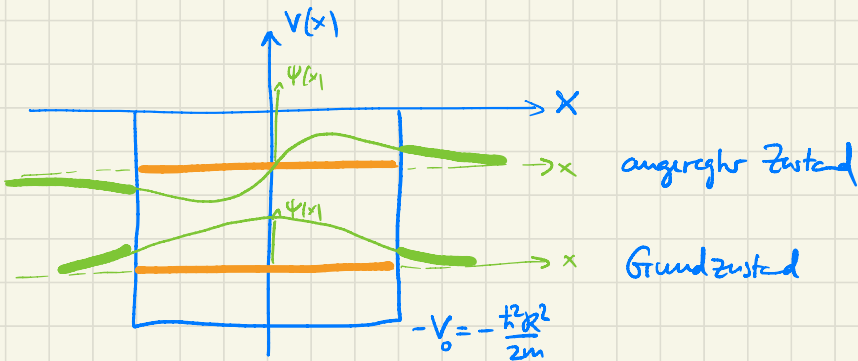
Nach Bestimmung von k^l $\Rightarrow E = -\frac{\hbar^2}{2m} (R^2 - k^{l^2})$

N_a und N_i bestimmt durch Stetigkeit von $\Psi(\frac{L}{2})$

und Normierung $\int dx |\Psi(x)|^2 = 1$

Graphische Zusammenfassung

für $R \frac{L}{2} \in [\frac{\pi}{2}, \pi)$



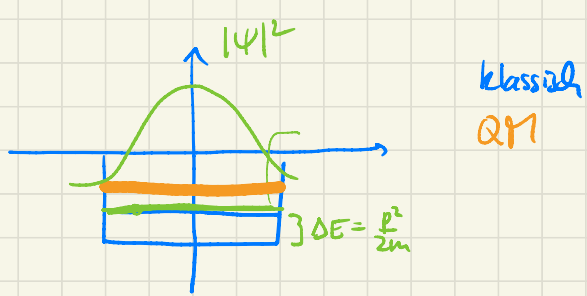
\rightarrow einfaches Modell für schwach gebundenen Zustand
(z.B. Kernphysik: Deuteron = n, p)

\rightarrow Wellenfkt. fällt im klassisch verbotenen Bereich $|x| > \frac{L}{2}, E < 0$ ab wie $\Psi \sim e^{-\sqrt{2mE}x/L}$
gilt für jeden gebundenen Zustand für V mit endl. Reichweite

\rightarrow Grenzfall unendl. Potentialtopf L fest, $V_0 \rightarrow \infty \Leftrightarrow R \rightarrow \infty$

$$E = -V_0 + \frac{\hbar^2}{2m} k^{l^2} \quad k^l = \frac{n\pi}{L} \quad n=1,2,3\dots$$

wie im unendl. Pot. topf



klassisch
QM

